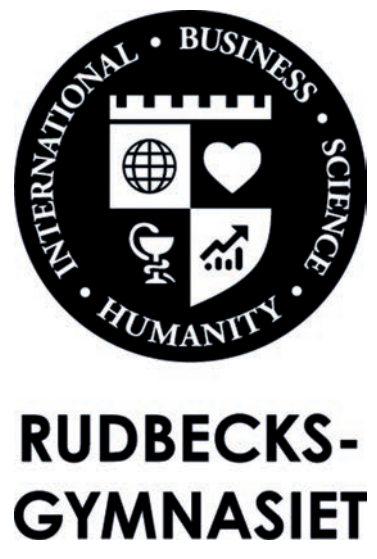


KLAPAVICE IN TOKSIČNE MIKROALGE

MUSSELS AND TOXIC MICROALGAE

Jožef Stefan
Trst

Erasmus+



RUDBECKS-
GYMNASIET

TERENSKO DELO FIELD WORK

Razdelili smo se v sedem skupin, vsaka si je izbrala postajo raziskovanja in opravila različne analize.

Najprej smo s pomočjo GPS-a ugotovili točne koordinate kraja vzorčenja (Slika 1 in Tabela 1).

Nato smo izmerili tudi nekatere fizikalne parameterje zraka (Tabela 1).

Za merjenje smo uporabili multiparametrsko sondu STANDARD ST-21 (Slika 2) in izmerili temperaturo, vlagu in osvetljenost.

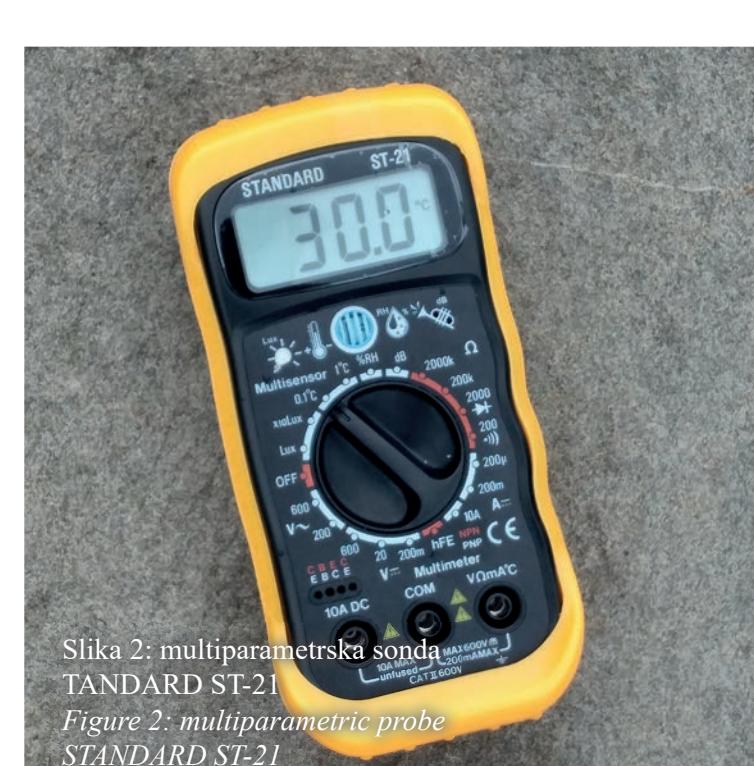
Skupina Group	Koordinate vzorčevanja Sampling coordinates	Temperatura (°C) Temperature (°C)	Vlagi (%) Humidity (%)	Osvetljenost (Lux x 10) Brightness (Lux x 10)
A	N 45°40' 37" E 13°45' 9"	30	57,5	816
B	N 45°40' 37" E 13°45' 10"	29,8	58,3	850
C	N 45°40' 37" E 13°45' 09"	30	56,7	919
D	N 45°40' 37" E 13°45' 10"	30,9	54	830
E	N 45°40' 36" E 13°45' 11"	30,6	55,5	1130
F	N 45°40' 37" E 13°45' 10"	28,3	60,8	1300
G	N 45°40' 38" E 13°45' 10"	28,9	46,8	n.r.

Tabela 1: koordinate vzorčevalnih postaj in parametri zraka
Table 1: sampling coordinates and air parameters

Drugo multi-parametrsko sondu HANNA instruments HI9829 (Slika 3) smo uporabili za merjenje različnih kemiko-fizikalnih dejavnikov vode, in sicer: temperatura, pH, slanost, raztopljeni kisik, prevodnost, oksidoreduktijski potencial, suhi ostanki in motnost (Tabela 2).

First of all, we split up into seven groups. Every group chose a different spot (Figure 1) and recorded the coordinates of the exact location where all of the activities were performed. After that, every group measured and recorded water and air parameters (Table 1 and Table 2).

We used the HANNA instrument HI9829 (Figure 3) to measure the water parameters (temperature, pH, salinity, dissolved oxygen, conductivity, TDS -Total Dissolved Solids, and turbidity) and the STANDARD ST-21 multimeter (Figure 2) was used to measure the air parameters (temperature, humidity and brightness).



Skupina Group	A	B	C	D	E	F	G
Temperatura (°C) Temperature (°C)	23,8	23,83	23,89	23,8	23,8	23,9	23,8
pH	8,11	8,12	8,11	8,11	8,11	8,12	8,11
Slanost (PSU)	36,0	35,7	35,9	35,9	35,9	35,9	36,0
Salinity (PSU)							
Raztopljeni kisik Dissolved oxygen	/	/	/	/	/	/	/
Prevodnost (mS/cm) Conductivity (mS/cm)	54,31	53,92	54,29	54,2	54,2	54,17	54,3
Redox potencial (mV) Redox potential (mV)	24,9	/	42,6	33,6	33,6	43,6	41,3
Suhi ostanki (ppt) Dry residue (ppt)	27,16	26,96	27,15	27,13	27,13	27,09	27,15
Motnost (FNU) Turbidity (FNU)	0	0	0	0	0	0	0

Tabela 2: kemijo-fizikalni parametri vode (vrednost raztopljenega kisika je bila stalno nihajoča, podatki so nezanesljivi; podatek o motnosti tudi ni verodostojen, vejetajo so nastale izake v kalibriranju instrumenta)
Table 2: chemical and physical parameters (dissolved oxygen not reliable)



Skupina Group	A	B	C	D	E	F	G
Temperatura (°C) Temperature (°C)	23,8	23,83	23,89	23,8	23,8	23,9	23,8
pH	8,11	8,12	8,11	8,11	8,11	8,12	8,11
Slanost (PSU)	36,0	35,7	35,9	35,9	35,9	35,9	36,0
Salinity (PSU)							
Raztopljeni kisik Dissolved oxygen	/	/	/	/	/	/	/
Prevodnost (mS/cm) Conductivity (mS/cm)	54,31	53,92	54,29	54,2	54,2	54,17	54,3
Redox potencial (mV) Redox potential (mV)	24,9	/	42,6	33,6	33,6	43,6	41,3
Suhi ostanki (ppt) Dry residue (ppt)	27,16	26,96	27,15	27,13	27,13	27,09	27,15
Motnost (FNU) Turbidity (FNU)	0	0	0	0	0	0	0

Tabela 2: kemijo-fizikalni parametri vode (vrednost raztopljenega kisika je bila stalno nihajoča, podatki so nezanesljivi; podatek o motnosti tudi ni verodostojen, vejetajo so nastale izake v kalibriranju instrumenta)
Table 2: chemical and physical parameters (dissolved oxygen not reliable)

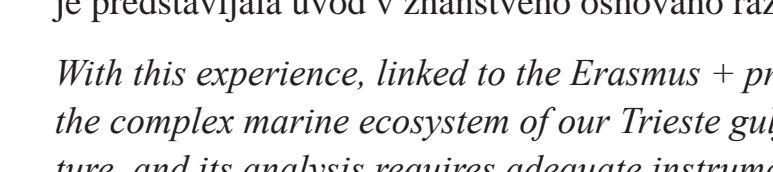
Sledilo je filtriranje vode, ki smo ga opravili na tri različne načine. Vsaka skupina je najprej filtrirala 20 L morske vode skozi dvojno najlonko, drugič pa enako količino skozi enojno. Nazadnje smo 10 L vode filtrirali skozi filter papir (Slika 6). Po vsaki filtraciji smo filter sprali naprej z destilirano vodo, da bi odstranili sol, in nato smo jih postavili v posodice z etanolom. Tako smo organizme fiksirali za nadaljnje laboratorijske analize.

Na izbranem mestu je vsaka skupina nabrala tudi deset klapavic (Slika 7). Klapavice smo stehali, izmerili dolžino in sirino ter jih ostevilčili. Po opravljenih meritvah smo jih v plastične vrečke dodali morsko vodo in vse pospravili v hladilnik za naslednje analize.

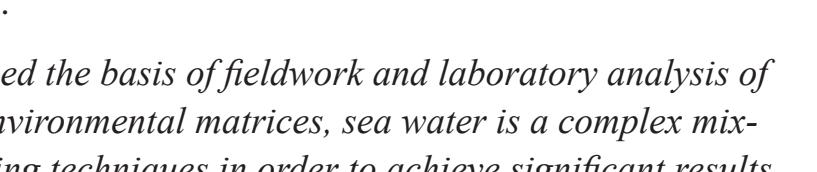
We used different filtration methods. The filters were paper (Figure 6) and tights (double and single layered). Also the amounts of filtered water were different: 10 L, 20 L or 50 L. After the filtration we rinsed the filtrates with distilled water and then we soaked them in ethanol to fix the organisms.

In the same location we retrieved 10 mussels per group (Figure 7). Later we weighed them and measured their length and width. Every sample was stored in its own plastic bag with a bit of seawater and put in the fridge.

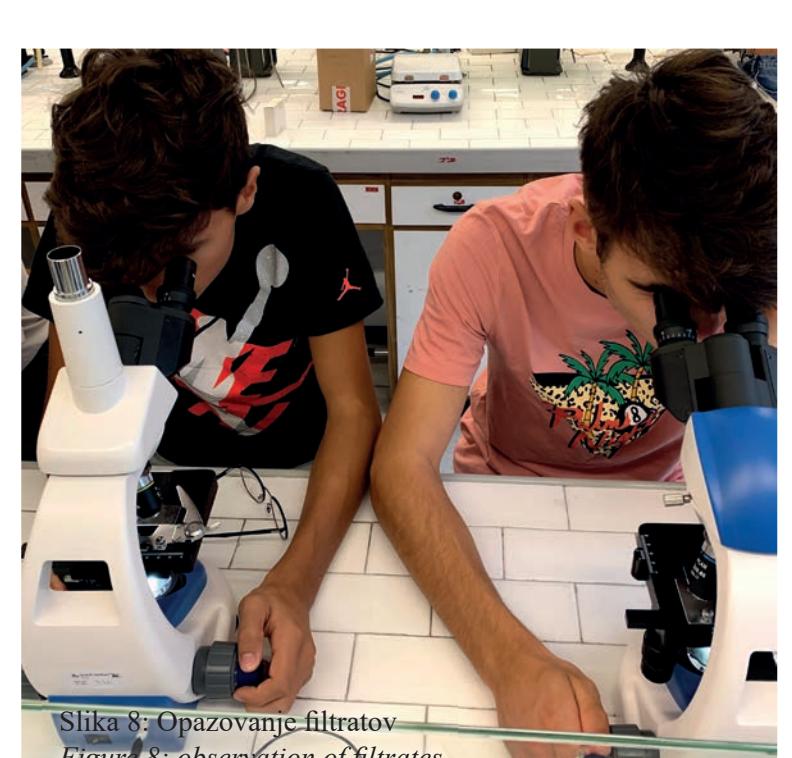
Slika 6: filtriranje morske vode
Figure 6: sea water filtration



Slika 7: klapavice na obali
Figure 7: mussels on shore.



LABORATORIJSKE ANALIZE LABORATORY ANALYSIS



Naslednj dan smo v šolskem laboratoriju pregledali vse zbrane vzorce v jih analizirali, začenši z opazovanjem filtratov.

Najlepše smo sprali z etanolom, da bi iz njih izločili organizme. Etanol smo kapljicah kanili na predmetno stekelce in organizme opazovali z optičnim mikroskopom.

Iz filter papirja smo odstranili trdni ostanek s spatulo, ga naložili na stekelca in jih opazovali (Slika 8).

Najlonke so združile predvsem skoljke *Cresae acicula*, ki so bile na dan vzorčenja zelo streljive, saj se je prav takrat pojavilo posebno cvetenje teh organizmov.

Skupina Group	A	B	C	D	E	F	G
Teža s školjko (g) Weight with shell (g)	7,8	6,7	25,2	11,0	12,0	12,0	17,2
Teža brez školjke (g) Weight without shell (g)	1,2	0,9	4,0	1,3	1,6	1,4	2,5
Dolžina (mm) Length (mm)	36,0	32,1	57,8	45,7	47,2	42,1	52,5
Širina (mm) Width (mm)	17,8	16,7	35,2	24,0	26,0	23,7	29,6

Tabela 3: značilnosti klapavice (v tabeli so podane srednje vrednosti zbranih podatkov za vsako skupino)
Table 3: mussels characteristics (average value for every group)



Slika 11: dinophysis fortii
Figure 11: dinophysis fortii

Med mikroskopiranjem vsebnosti klapavičnih hepatopankreasov smo opazili prisotnost različnih mikroorganizmov in organizmov, katerih točno klasificiranje je zelo zahtljivo.

Z brizgalco smo poskrabili vodo iz klapavičnega hepatopankreasu in pridobljeno vsebino opazovali pod mikroskopom.

Iskali smo mikroalge, ki proizvajajo toksine DSP (*Diarrhetic Shellfish Poisoning*), med temi še posebno oklepke bikičarje rodu *Dinophysis* (Slika 11), ki se kopijo v klapavičnih prebavilih. Zastrupitev s temi toksini povzroča hude težave, sij so simptomi primerljivi z kolero.

Simptomi so driska, hude bolečine v trebuhi in prebavilih ter bruhanje, zaradi katerih je tveganje dehidracija veliko visoko. Na sreco simptomi mi-nejo v nekaj dneh.

Med mikroskopiranjem vsebnosti klapavičnih hepatopankreasov smo opazili prisotnost različnih mikroorganizmov in organizmov, katerih točno klasificiranje je zelo zahtljivo.

V klapavicih smo opazili prisotnost različnih vrst migetalkarjev, planktonskih polihetov, nekaterih ličink in enocelne alge, pretežno kremenate (Slika 12). V njih nismo našli nobene toksične vrste.

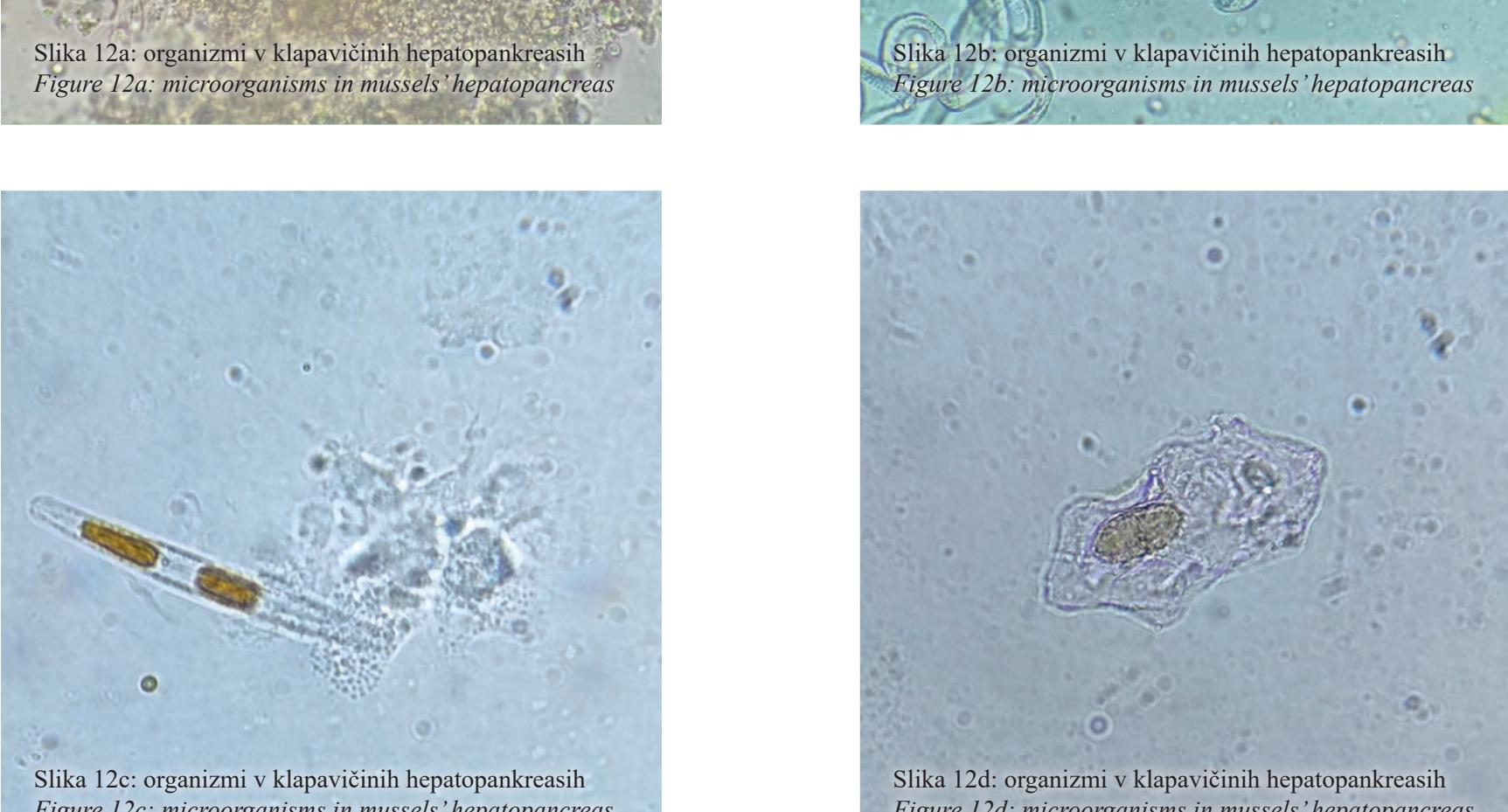
We also opened the shells of the mussels (Figure 10), completed the measurements (Table 3), and looked for the hepatopancreas. It is a digestive organ that can accumulate heavy metals, toxins and pollutants. We extracted the tissue from the organ with a syringe and placed it on a glass slide. We observed the samples under the optical microscope. We were searching mostly for Dinoflagellates (Figure 11), which produce DSP toxins (Diarrhetic Shellfish Poisoning toxins) that cause nausea, vomit, diarrhea and abdominal pain. In our samples we found different types of microorganisms (Figure 12), like Ciliata, some unicellular algae, and different species of plankton larvae, no toxic species were observed.

The next day, in the school lab, we started with the analysis of solid residues from water filtrations (Figure 8). We prepared the glass slides by scraping the solid residue from the filters and spreading it on the glass slides. We detected mostly unicellular algae Diatoms and some Ciliata (Figure 9). The total amount of plankton organisms was quite low, probably because of the heavy presence of *Mnemiopsis* sp. and *Cresae acicula*, as they feed on microplankton. Another possible reason is that we did not filter enough water to perform a successful filtration, which usually requires more time.

On the next day, in the school lab, we started with the analysis of solid residues from water filtrations (Figure 8). We prepared the glass slides by scraping the solid residue from the filters and spreading it on the glass slides. We detected mostly unicellular algae Diatoms and some Ciliata (Figure 9). The total amount of plankton organisms was quite low, probably because of the heavy presence of *Mnemiopsis* sp. and *Cresae acicula*, as they feed on microplankton. Another possible reason is that we did not filter enough water to perform a successful filtration, which usually requires more time.

V laboratoriju smo nadaljevali tudi z analizami morskih klapavic. Z noži smo jih odprli (Slika 10) in jim določili spol glede na barvo (oranžna-ženski spol, sivo/rumena-moški spol).

Ločili smo školjko od mehkega dela in slednjega stehali. Podatki, ki so bili pridobljeni na kraju vzorčenja in v laboratoriju, so podani v skupni tabeli (Tabela 3).



Slika 12a: organizmi v klapavičnih